

บทที่ 4

4. ผลการศึกษา

4.1 การเห็นย่วนให้ไก่เกิดภาวะ acute phase response (APR)

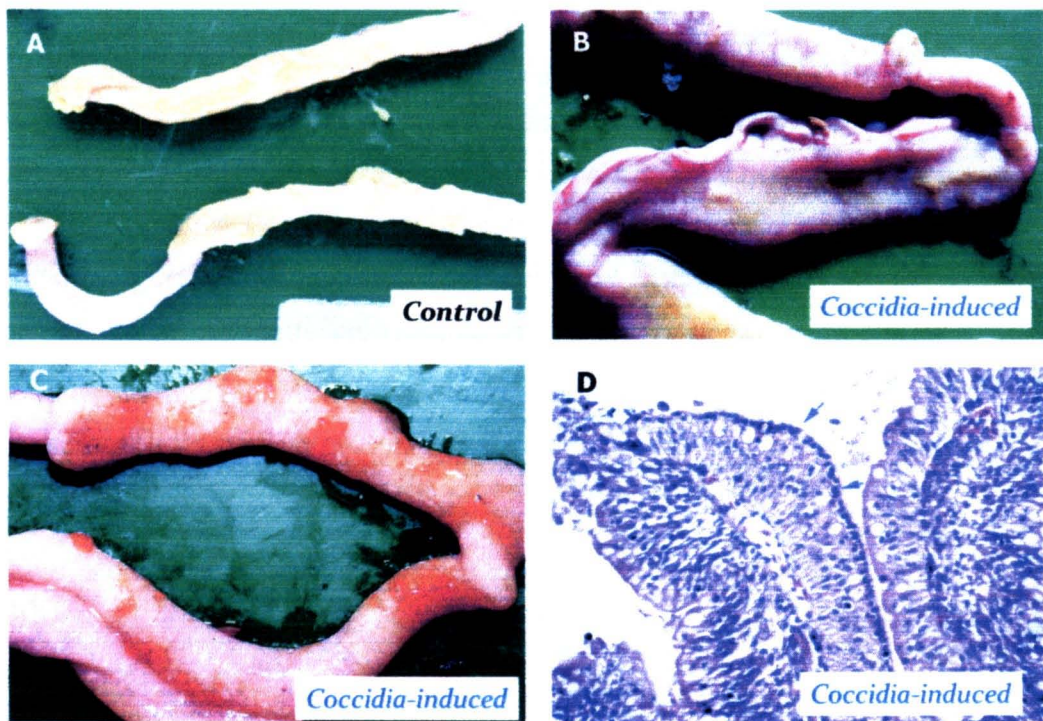
ตลอดระยะเวลาของการศึกษา ไก่ในกลุ่มควบคุมและไก่ในกลุ่มที่เห็นย่วนให้เกิดภาวะ APR ได้รับอาหารและน้ำอย่างไม่จำกัดจำนวน ไม่พบปัญหาใด ๆ ในไก่ทั้ง 2 กลุ่ม เมื่อไก่อายุได้ 21 วัน ในกลุ่มที่เห็นย่วนให้เกิดภาวะ APR ด้วยการป้อนเชื้อบิด พบร่วงกายหลังจากป้อนเชื้อ ไก่บางส่วนแสดงอาการห้องเสีย อุจาระเหลว มีสีส้มแดง หรือมีเลือดปน แสดงถึงภาวะการติดเชื้อบิด ได้ทำการเจาะเลือดทั้งก่อนและหลังจากป้อนเชื้อ 7 วัน และนำไก่ทั้ง 2 กลุ่ม มาผ่าช้ากพิสูจน์รอยโรคโดยเฉพาะไก่ในกลุ่มที่ 2 เพื่อดูรอยโรคของการติดเชื้อบิด เพื่อบ่งชี้ถึงภาวะไก่ที่มีการติดเชื้อ มีการอักเสบ จากการผ่าช้าพบว่า ไก่ในกลุ่มที่ 2 ทุกตัว มีรอยโรคของการติดเชื้อบิด ทั้งในส่วนของ duodenum และ jejunum (รูปที่ 1 B และ C) เมื่อตัดชิ้นเนื้อในส่วนของรอยโรคนำไปตรวจรอยโรคระดับจุลทรรศน์ พบว่าที่ enterocytes ในส่วนของ duodenum พบร่องรอยมากอยู่ในเซลล์ของลำไส้ (รูปที่ 1 D) ส่วนในไก่ในกลุ่มควบคุมไม่พบรอยโรคใด ๆ (รูปที่ 1 A)

4.2 ระดับความเข้มข้นของ TSP ในตัวอย่างซีรัม

นำซีรัมของไก่ทั้ง 2 กลุ่มมาตรวจความเข้มข้นของ TSP พบร่วงที่ไก่อายุ 14 วัน ค่าเฉลี่ยของความเข้มข้น TSP ของไก่ทั้งสองกลุ่ม มีค่าใกล้เคียงกัน เช่นเดียวกันกับค่าเฉลี่ยของ TSP ของไก่ในกลุ่มที่ 2 มีค่าไม่แตกต่างจากไก่ในกลุ่มควบคุมภายหลังจากการติดเชื้อบิดไปแล้ว 7 วัน (ตารางที่ 1)

ตารางที่ 1 แสดงระดับความเข้มข้นของ TSP ในไก่ทั้งสองกลุ่ม

กลุ่ม	ความเข้มข้นของ TSP (mg/ml) (mean \pm SD)	
	14 วัน	21 วัน
กลุ่มควบคุม	19.79 \pm 3.76	21.00 \pm 3.35
กลุ่มเห็นย่วนภาวะ APR	23.15 \pm 4.07	20.54 \pm 1.74



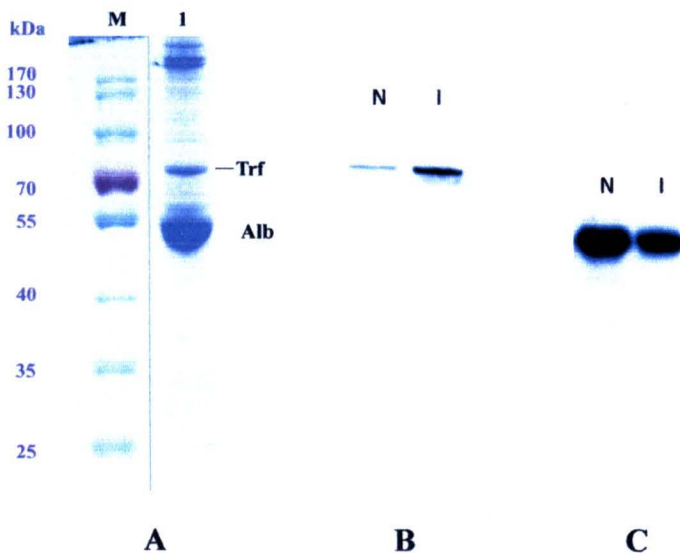
รูปที่ 1 แสดงรอยโรคของไก่ในกลุ่มที่เหนี่ยวนำให้เกิดภาวะ APR โดยป้อนเชื้อบิดทำให้เกิดลำไส้อักเสบพบจุดเนื้อตายที่บริเวณ duodenum (B) และ jejunum (C) และเมื่อนำมาล้างส่วนที่มีรอยโรคไปตรวจด้วยจุลทรรศน์วิเคราะห์พบ เชื้อบิดจำนวนมากอยู่ในเซลล์ของลำไส้ (กำลังขยาย 400 เท่า) ส่วนไก่ในกลุ่มที่ 1 ไม่พบรอยโรคใด ๆ ที่ลำไส้

4.3 ผลการตรวจวัดระดับความเข้มข้นของ Trf ในตัวอย่างชีรัม

การบ่งชี้แอบโปรตีน Trf บนแผ่นเจลโดยวิธี Western blot analysis ร่วมกับใช้ rabbit anti-chicken Trf antibodies และใช้ Trf บริสุทธิ์ เป็นโปรตีนยืนยันอ้างอิงแอบโปรตีนบนแผ่นเจล และเป็น positive control ของแอบโปรตีน Trf พบว่าโปรตีน Trf มีขนาด 77.6 kDa เมื่อวิเคราะห์ด้วย electrophoresis ในภาวะ non-reducing condition (รูปที่ 2 A และ B) ตัวอย่างชีรัมนำมาตรวจวัดระดับความเข้มข้นของ Trf พบว่าไก่ทั้ง 2 กลุ่มมีค่าเฉลี่ยของระดับ Trf ไม่แตกต่างกันเมื่ออายุ 14 วัน แต่พอหลังจากไก่กลุ่มที่ 2 ติดเชื้อบิดไปแล้ว 7 วันพบว่า มีค่าเฉลี่ยของ Trf เพิ่มขึ้นประมาณ 1 เท่า ของไก่ปกติ (ตารางที่ 2)

4.4 ผลการตรวจระดับความเข้มข้นของ Alb ในตัวอย่างชีรัม

การบ่งชี้แคนโปรตีน Alb ในตัวอย่างชีรัม บนแผ่นเจลโดยวิธี Western blot analysis โดยใช้ rabbit anti-chicken Alb antibodies พบร้า Alb มีขนาดประมาณ 49 kDa เมื่อวินิเคราะห์ด้วย ด้วย electrophoresis ในภาวะ non-reducing condition (รูปที่ 2 A และ C) และเมื่อเปรียบเทียบปริมาณแคนของโปรตีน ชีรัมจากไก่ปกติ (N) กับไก่ที่ติดเชื้อบิด (I) พบร้าไก่ที่ติดเชื้อมีปริมาณของแคนโปรตีน Alb น้อยกว่าไก่ปกติ (รูปที่ 2 C) ทำการหาความเข้มข้นของ Alb ด้วยวิธี cellulose acetate gel electrophoresis (รูปที่ 3) พบร้าค่าเฉลี่ยของ Alb ในไก่ที่ติดเชื้อมีค่าลดลง (ตารางที่ 3)



รูปที่ 2 แสดงการวินิเคราะห์ Trf ใน ชีรัมไก่ด้วย 15 % SDS PAGE และนำเจลไปย้อมสี Coomassie brilliant blue (A) และยืนยันด้วยวิธี immunoblotting ร่วมกับ rabbit anti-chicken Trf antibodies (B) เมื่อเปรียบเทียบชีรัมจากไก่ปกติ (N) กับไก่ที่ติดเชื้อบิด (I) พบร้าไก่ที่ติดเชื้อมีปริมาณของแคนโปรตีน Trf เพิ่มขึ้น ส่วน Alb มีขนาดประมาณ 49 kDa และทำการยืนยันแคนโปรตีนด้วยวิธี immunoblotting ร่วมกับ rabbit anti chicken Alb antibodies พบร้าในไก่ที่ติดเชื้อบิดมีปริมาณของแคนโปรตีน Alb ลดลง (C)

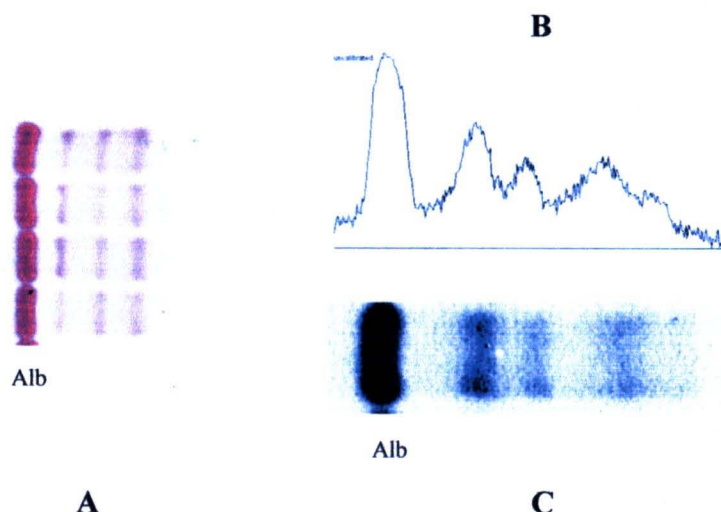
ตารางที่ 2 แสดงระดับความเข้มข้นของ Trf ในไก่ทั้งสองกลุ่ม

กลุ่ม	ความเข้มข้นของ Trf (mg/ml) (mean ± SD)	
	14 วัน	21 วัน
กลุ่มควบคุม	1.96 ± 0.54	1.42 ± 0.03
กลุ่มเห็นี่ยวน้ำภาวะ APR	1.95 ± 0.54	2.96 ± 0.13*

* $p<0.05$

ตารางที่ 3 แสดงระดับความเข้มข้นของ Alb ในไก่ทั้งสองกลุ่ม

กลุ่ม	ความเข้มข้นของ Alb (mg/ml) (mean ± SD)	
	14 วัน	21 วัน
กลุ่มควบคุม	9.5 ± 1.3	8.8 ± 1.3
กลุ่มเห็นี่ยวน้ำภาวะ APR	9.7 ± 0.5	7.2 ± 1.3



รูปที่ 3 แสดงผลของการวัดความเข้มข้นของ Alb ในชีรัมด้วยวิธี cellulose acetate gel electrophoresis แล้วนำเจลนำมาขอมด้วยสี ponceue S (A) และนำไปหาความเข้มข้นโดยการหาพื้นที่ได้กราฟของความเข้มข้นของโปรตีน Alb จากรูปแสดงความเข้มข้นของโปรตีนในแผ่นเจล (C) ถูกแปลงเป็นกราฟที่สัมพันธ์กับปริมาณโปรตีน (B) เพื่อที่คำนวณหาความเข้มข้นต่อไป



4.5 ผลการตรวจ SAA ในตัวอย่างชีรัม

การทำ 15% SDS-urea-PAGE เป็นวิธีการตรวจที่จำเพาะต่อการตรวจ SAA ในตัวอย่าง โดยทั่วไประดับของ SAA ในชีรัมมีปริมาณน้อย การนำแผ่นเจลไปข้อมูลจะไม่สามารถเห็นແນບโปรตีน SAA ได้ชัดเจน (รูปที่ 5 A) การตรวจหาระดับปริมาณ SAA จะต้องใช้วิธี immunoblotting ร่วมด้วย โดยจะพบແນບโปรตีน SAA ขนาด 14 kDa จากรูปที่ 5 B การทำ immunoblotting ด้วยการใช้ rabbit anti-AA antibodies จะพบว่าจะให้ผลบวกต่อโปรตีน ApopA-I ด้วย ดังนั้นจึงต้องมีการนำ rchSAA มาใช้ในการผลิต rabbit anti-rchSAA antibodies พบว่า antibodies ที่ผลิตได้นั้นให้ปฏิกิริยาเพียงແນບโปรตีน SAA ซึ่งแสดงถึงความจำเพาะเฉพาะจะสูงของ antibodies ที่ผลิตได้นี้ (รูปที่ 5 C) จากการตรวจชีรัมของໄກ ปกติและໄກที่ติดเชื้อพบว่าโปรตีน SAA ตรวจพบเฉพาะในชีรัมของໄກที่ติดเชื้อบิดเท่านั้น ไม่ว่าจะตรวจด้วย rabbit anti-AA antibodies หรือ rabbit anti-rchSAA antibodies

4.6 การตรวจระดับ ApoA-I ในตัวอย่างชีรัม

การบ่งชี้ແນບโปรตีนในตัวอย่างชีรัมได้ใช้วิธี Western blot analysis โดยใช้ rabbit anti-AA fibrils antibodies เพรา antibodies มีการ cross reaction กับโปรตีน ApoA-I พบແນບโปรตีนมใหญ่กว่า 28 kDa ในแผ่นเจล SDS-urea-PAGE (รูปที่ 4 B) จากรูปจะพบว่า ApoA-I จะลดลงในชีรัมของໄກที่ติดเชื้อบิด ในส่วนของแผ่นเจล SDS PAGE under non-reducing condition ແນບโปรตีน ApoA-I มีขนาดปริมาณ 28 kDa (รูปที่ 5) และมีปริมาณลดลงอย่างเห็นได้ชัดในชีรัมໄກที่ติดเชื้อ (รูปที่ 5 infected group) ส่วนการผลิต antiserum ที่จำเพาะต่อ ApoA-I นั้นภายหลังจากการตัดແນບโปรตีน ApoA-I จากแผ่นเจลนำไปฉีดกระต่าย ภายหลังจากการฉีดไป 4 สัปดาห์ นำชีรัมมาทดสอบพบว่า ตรวจไม่พบ antibodies ต่อ ApoA-I ซึ่งเป็นไปได้ที่ปริมาณโปรตีนที่นำไปฉีดมีปริมาณน้อยเกินไป จำเป็นต้องหาวิธีอื่นต่อไป

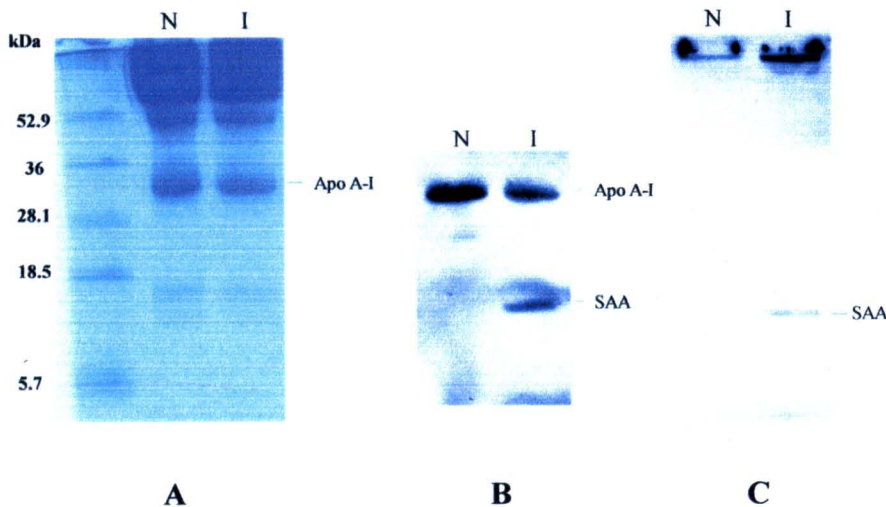
4.7 ผลการคำนวณค่าดัชนีของการอักเสบ (API)

เมื่อนำค่า TSP Trf และ Alb มาเปรียบเทียบกันพบว่า ค่า Trf มีค่าสูงขึ้นอย่างเห็นได้ชัดในกลุ่มໄກที่ติดเชื้อบิด และเมื่อนำค่าทั้งหมดมาคำนวณค่า API ในที่กำหนดเองไว้ พบว่าค่า API ของกลุ่มໄກที่มีการติดเชื้อเมื่อ 21 วันมีค่าสูงขึ้นอย่างมีนัยสำคัญทางสถิติ ($p < 0.05$) แสดงถึงสูตรที่นำมาใช้ในการคำนวณมีแนวโน้มที่จะนำไปใช้ได้ในอนาคต (ตารางที่ 4) (รูปที่ 6)

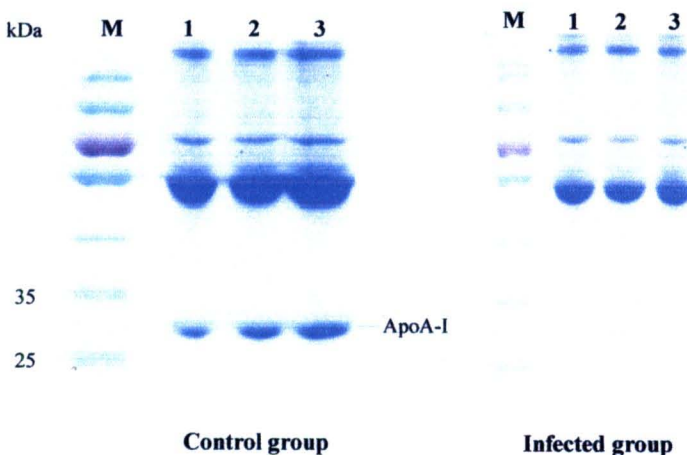
สำนักงานคณะกรรมการวิจัยแห่งชาติ
ห้องสมุดงานวิจัย
วันที่.....
- 5 มิ.ย. ๒๕๖.....
เลขทะเบียน.....
246873.....
เลขเรียกหนังสือ.....

ตารางที่ 4 แสดงค่าดัชนีของการอักเสบ (API) ในไก่ทั้งสองกลุ่ม

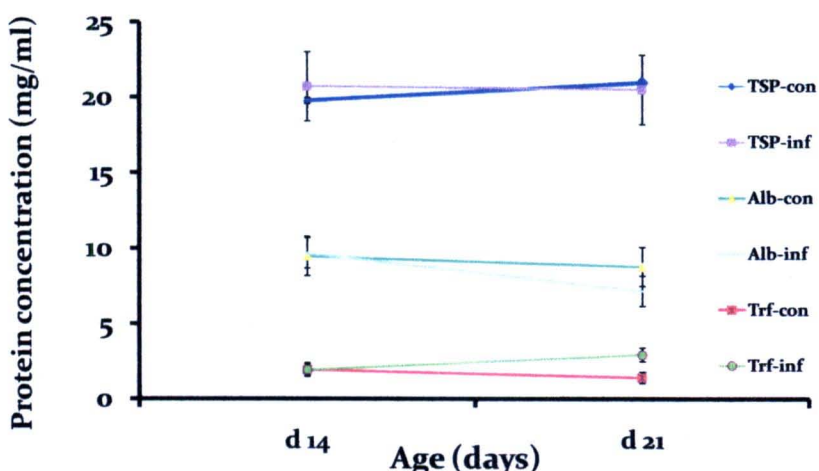
กลุ่ม	ค่า API (mean + SD)	
	14 วัน	21 วัน
กลุ่มควบคุม	4.08 ± 0.59	3.38 ± 0.09
กลุ่มเห็นี่ยวน้ำภาวะ APR	4.18 ± 1.60	8.44 ± 0.17*

* $p < 0.05$ 

รูปที่ 4 แสดงผลการตรวจของ SAA ด้วย 15% SDS-6 M urea-PAGE ของชีรัมไก่ปกติ (N) และไก่ที่ติดเชื้อบิด (I) แผ่นเจลย้อมด้วยสี Coomassie brilliant blue (A) แสดงแถบโปรตีน ApoA-I มีขนาดโปรตีนใหญ่กว่า 28 kDa และมีปริมาณลดลงในไก่ที่ติดเชื้อ ส่วนแถบโปรตีน SAA ไม่สามารถเห็นได้บนแผ่นเจลที่ย้อมสี (B) แสดงผล immunoblotting ของตัวอย่างชีรัมโดยใช้ rabbit anti-AA fibrils antibodies พบว่า antibodies นี้ทำปฏิกิริยาที่กับแถบโปรตีนที่ตำแหน่งประมาณ 14 kDa ซึ่งเป็นตำแหน่งของ SAA และทำปฏิกิริยากับแถบโปรตีนที่ตำแหน่ง 28 kDa ซึ่งเป็นตำแหน่งของ ApoA-I ด้วยเช่นกัน (C) แสดงแถบโปรตีน immunoblotting ของตัวอย่างชีรัมโดยใช้ rabbit anti-rchSAA antibodies ที่ผลิตได้ พบว่า antibodies นี้ทำปฏิกิริยาเฉพาะ SAA และไม่ทำปฏิกิริยาต่อแถบโปรตีนอื่น ๆ แสดงถึงความจำเพาะเจาะจงของ antibodies ที่ผลิตได้ ส่วนชีรัมไก่ปกติ (N) จะตรวจไม่พบแถบโปรตีนของ SAA ต่อการตรวจด้วย antiserum ทั้ง 2 ชนิด



รูปที่ 5 แสดงผลการตรวจ ApoA-I บน 15 % SDS-PAGE under non-reducing condition ของ ชีรัม ตัวอย่างไก่ที่อายุ 21 วันในกลุ่มควบคุม (control group) และ กลุ่มที่ติดเชื้อบิด (Infected group) พบร่วม蛋白质 ApoA-I ของไก่ที่ติดเชื้อบิดมีปริมาณลดลงอย่างเห็นได้ชัดเมื่อเปรียบเทียบกับชีรัมของไก่ ปกติ



รูปที่ 6 กราฟแสดงค่าเฉลี่ยของระดับ TSP, Alb และ Trf ในชีรัมของไก่กลุ่มควบคุม (con) และไก่กลุ่มที่ติดเชื้อ (inf) ค่าเฉลี่ยของระดับ TSP ในชีรัมของไก่ในกลุ่มควบคุมและกลุ่มติดเชื้อไม่แตกต่างกันทั้งก่อน และหลังการติดเชื้อ ส่วนค่าเฉลี่ยของระดับ Alb ในชีรัมของไก่กลุ่มที่ติดเชื้อบิดมีแนวโน้มที่ค่าจะลดลงกว่าในไก่กลุ่มควบคุม และสุดท้ายค่าเฉลี่ยของระดับ Trf ในชีรัมของไก่กลุ่มที่ติดเชื้อบิดมีค่าสูงกว่าในไก่กลุ่มควบคุมอย่างเห็นได้ชัด